

早稲田大学 正員 依田照彦
 早稲田大学 正員 平嶋政治
 早稲田大学 学生員 井浦雅司

1. まえがき

本報告は、初期曲率(K_2, K_3)と初期挾率(K_1)を有する薄肉空間曲線部材を対象とし、薄肉直線部材の解析で使用されている仮定¹⁾を基礎に、変位を平面的な変位とそりに伴う変位に分けて考察し²⁾、精度の高い有限変位場を誘導することを目的としている。

全体の記述は Schroeder の論文²⁾に類似しているが、主な相違点は、そり変位とそり関数と挾率との積で表現し、そり関数と 1 で微小変位理論による初期曲率と初期挾率を有する薄肉空間曲線部材のそり関数³⁾を用い、後半を変形後の棒軸の挾率を利用して求めた点にある。

2. 有限変位場

全変位ベクトル ∇ を次のように分けて考える。²⁾

$$\nabla = \bar{\nabla} + \tilde{\nabla} + w \quad (1)$$

ここに、 $\bar{\nabla}$, $\tilde{\nabla}$, w はそれぞれ、重心軸の変位によって生じる任意点 P の変位ベクトル、変形後の棒軸回りの回転による変位ベクトル、そりに伴う変位ベクトルである。

今、変形前の単位基底ベクトルを $(\dot{\mathbf{e}}_1, \dot{\mathbf{e}}_2, \dot{\mathbf{e}}_3)$ 、変位ベクトル $\bar{\nabla}$ が作る変位後の単位基底ベクトルを $(\tilde{\mathbf{e}}_1, \tilde{\mathbf{e}}_2, \tilde{\mathbf{e}}_3)$ 、変位ベクトル $\tilde{\nabla}$ が作る変位後の単位基底ベクトルを $(\tilde{\mathbf{e}}_1, \tilde{\mathbf{e}}_2, \tilde{\mathbf{e}}_3)$ と表わせば、 $\dot{\mathbf{e}}_i, \tilde{\mathbf{e}}_i, \tilde{\mathbf{e}}_i$ ($i=1, 2, 3$) の間には次の関係が成り立つ。²⁾

$\tilde{\mathbf{e}}_i = \underline{\varphi}_{im} \dot{\mathbf{e}}_m$, $\tilde{\mathbf{e}}_i = \underline{\varphi}_{im} \bar{\mathbf{e}}_m$, $\tilde{\mathbf{e}}_i = D_{im} \dot{\mathbf{e}}_m$ ($2a, b, c$)

ここに、 $\underline{\varphi}_{im}$, $\underline{\varphi}_{im}$, D_{im} はそれぞれ

$$\underline{\varphi}_{im} = e_i e_m + (\delta_{im} - e_i e_m) \cos \alpha + e_{imk} e_k \sin \alpha, \quad (3a)$$

$$\underline{\varphi}_{im} = \begin{bmatrix} 1 & 0 & 0 \\ 0 & \cos \theta & \sin \theta \\ 0 & -\sin \theta & \cos \theta \end{bmatrix}, \quad D_{im} = \underline{\varphi}_{is} \underline{\varphi}_{sm} \quad (3b, c)$$

とかける。²⁾

そり変位は近似的に $\tilde{\mathbf{e}}_1$ 方向へ生ずるものとすれば、

$$w = w \tilde{\mathbf{e}}_1 = w D_{im} \dot{\mathbf{e}}_m \quad (4)$$

とおける。従って、棒軸の変位ベクトルをひとおけば、

図 1 より任意点 P の変位ベクトルは

$$\nabla = \bar{\nabla} + \bar{s} - \dot{s} + \tilde{s} - \bar{s} + w \tilde{\mathbf{e}}_1 \quad (5)$$

と表わせる。ここに、

$$\dot{s} = y_2 \dot{\mathbf{e}}_2 + y_3 \dot{\mathbf{e}}_3, \quad \bar{s} = y_2 \bar{\mathbf{e}}_2 + y_3 \bar{\mathbf{e}}_3, \quad \tilde{s} = y_2 \tilde{\mathbf{e}}_2 + y_3 \tilde{\mathbf{e}}_3 \quad (6a, b, c)$$

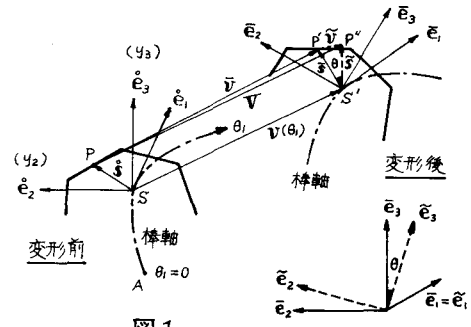


図 1

である。

故に全変位ベクトルは次式で表わせる。

$$\begin{aligned} \nabla &= \bar{\nabla} + \tilde{\nabla} + w \tilde{\mathbf{e}}_1 \\ &= \{ v^1 \dot{\mathbf{e}}_i - (y_2 \dot{\mathbf{e}}_2 + y_3 \dot{\mathbf{e}}_3) + (y_2 \tilde{\mathbf{e}}_2 + y_3 \tilde{\mathbf{e}}_3) + w \tilde{\mathbf{e}}_1 \\ &\quad + \{ v^2 - y_2 (1 - D_{22}) + y_3 D_{32} + w D_{12} \} \dot{\mathbf{e}}_2 \\ &\quad + \{ v^3 + y_2 D_{23} - y_3 (1 - D_{33}) + w D_{13} \} \dot{\mathbf{e}}_3. \end{aligned} \quad (7)$$

棒軸に関する変位成分を用いて、そり変位を表わすため、 w を次のように積の形で表現する。

$$w = -\omega \dot{\ell}_\theta = -\omega (\ell_\theta - K_1) \quad (8)$$

ここに、 ω は微小変位理論より求まる初期曲率と初期挾率を有する薄肉空間曲線部材のそり関数であり、薄肉開断面部材の場合には

$$\omega = \frac{h_s}{\sqrt{g}} \theta^3 + \sqrt{g} \int_{\theta_0^2}^{\theta^2} \frac{h_n}{g} d\theta^2 \quad (9)$$

とかける。³⁾ さらに、 ℓ_θ を変位 $\bar{\nabla}$, $\tilde{\nabla}$ が生じた後の挾率とする、

$$\dot{\ell}_\theta = \tilde{\ell}_\theta - K_1 \quad (10)$$

$$\begin{aligned} \dot{\ell}_\theta &= \tilde{\ell}_{2,1} \cdot \tilde{\mathbf{e}}^3 = \tilde{\ell}_{2,1} \cdot \tilde{\mathbf{e}}_3 \quad (\text{ただし } \tilde{\ell}_{2,1} = \frac{2}{3} \dot{\ell}_1) \\ &\text{とおけるので、挾率 } \dot{\ell}_\theta \text{ は} \\ &= D_{31} D_{21,1} + D_{32} D_{22,1} + D_{33} D_{23,1} + K_1 (\underline{\varphi}_{23} \underline{\varphi}_{33} - \underline{\varphi}_{22} \underline{\varphi}_{32} - 1) \\ &\quad + K_2 (\underline{\varphi}_{23} \underline{\varphi}_{31} - \underline{\varphi}_{21} \underline{\varphi}_{33}) + K_3 (\underline{\varphi}_{21} \underline{\varphi}_{32} - \underline{\varphi}_{23} \underline{\varphi}_{22}) \end{aligned} \quad (11)$$

となる。

従って、回転角 θ を除く変位成分 (v^1, v^2, v^3) に対して、3 次以上の高次項を無視すれば、全変位ベクトルは共変微分を用いて次のようにかける。

$$\nabla = w \dot{\mathbf{e}}_1 + u \dot{\mathbf{e}}_2 + v \dot{\mathbf{e}}_3, \quad \text{すなはち},$$

$$\begin{aligned}
\mathbf{V} = & \left[U^1 + y_2 \{ \cos \theta (-U^2 l_1 + U^3 l_1, U^4 l_1) - \sin \theta (-U^3 l_1 + U^2 l_1, U^4 l_1) \} + y_3 \{ \cos \theta (-U^3 l_1 + U^2 l_1, U^4 l_1) - \sin \theta (-U^2 l_1 + U^3 l_1, U^4 l_1) \} \right. \\
& - \{ \theta_1 + \frac{1}{2} (U^3 l_1), U^3 l_1, -\frac{1}{2} (U^3 l_1), U^2 l_1, -\frac{1}{2} k_1 ((U^3 l_1)^2 + (U^4 l_1)^2) + k_2 (U^4 l_1, U^3 l_1) + k_3 (U^3 l_1, U^4 l_1) \} \omega \] \hat{\mathbf{e}}_1 \\
& + [U^2 - y_2 \{ 1 - \cos \theta (1 - \frac{1}{2} (U^4 l_1)^2) + \frac{1}{2} \sin \theta U^4 l_1, U^4 l_1 \} + y_3 \{ -\frac{1}{2} \cos \theta U^4 l_1, U^4 l_1 - \sin \theta (1 - \frac{1}{2} (U^4 l_1)^2) \} - \{ \theta_1, U^4 l_1, + k_4 (U^4 l_1)^2 + k_3 U^4 l_1, U^4 l_1 \} \} \omega] \hat{\mathbf{e}}_2 \\
& \left. + [U^3 + y_2 \{ -\frac{1}{2} \cos \theta U^4 l_1, U^3 l_1 + \sin \theta (1 - \frac{1}{2} (U^4 l_1)^2) \} - y_3 \{ 1 - \cos \theta (1 - \frac{1}{2} (U^3 l_1)^2) - \frac{1}{2} \sin \theta U^4 l_1, U^3 l_1 \} - \{ \theta_1, U^3 l_1, + k_2 U^3 l_1, U^3 l_1 + k_3 (U^3 l_1)^2 \} \} \omega] \hat{\mathbf{e}}_3. \quad (12)
\end{aligned}$$

得られた有限変位場と従来の研究との比較を表1に示す。

表 1

分類	対象部材	曲率	挿率	研究者	本文との関係
微小変位場	平面曲線部材	曲率=0	挿率=0	Kollbrunner Hajdin	4) (12)式において $k_1 = k_2 = k_3 = 0$ とし、変位成分について線型項のみをとると本文の結果と全く一致する。
		曲率=const.	挿率=0	西野文雄 深沢泰晴	5) (12)式において $k_1 = k_2 = 0$ とおき、変位成分の線型項のみを考慮すれば、本文の結果と一致する。ただし、文献(5)とは変位を規定する軸を横軸にとった場合で比較している。
	空間曲線部材	曲率=const.	挿率=const.	築地恒夫	6) (12)式において $k_1 = const.$, $k_2 = const.$, $k_3 = const.$ とし、変位成分の線型項のみをとると本文の結果と一致する。ただし、そり関数 ω を求めた際に近似 ($g \neq g_0$) を行っている。
有限変位場	平面曲線部材	曲率=0	挿率=0	西野文雄 倉方慶夫 長谷川彰夫 奥村敏史	7) (12)式において変位成分の線型項のみをとれば本文の結果と一致する。ただし、文献(7)ではそり関数として直線部材の St. Venant のソリ関数を用いている。
				前田幸雄 林正	8) (12)式において $k_1 = k_2 = k_3 = 0$ とおき、(7)式においてそりの項を無視し、 $D_{lm} = \bar{A}_{lm}$ ($\bar{A}_{lm} = r_{lm}$, $e_1 = \phi_x = \theta x/a$, $e_2 = \phi_y = \theta y/a$, $e_3 = \phi_z = \theta z/a$) とおけば、本文の結果と完全に一致する。
		曲率=const.	挿率=0	西野文雄 倉方慶夫 後藤芳頃	9) $k_1 = k_2 = k_3 = 0$ とおき、(7)式のそりの項を無視し、(7)式の D_{lm} を計算すると際 $e_1 = 0$, $e_2 = 1$, $e_3 = 0$, $\theta = 0$ とおけば、本文の結果と完全に一致する。
	空間曲線部材	曲率=const.	挿率=0	薄木征三	10) 面内変位については文献(1)と同じものを用い、軸方向変位(面外)の変位成分に関する回転角 θ を除す2次以上の高次微小項を無視し、(11)式よりそり変位の挿率を求めた際 $D_{22} = D_{33} = 1$, $D_{23} = D_{32} = 0$ とおけば一致。
	倉方慶夫	11) (7)式から(12)式を導く際、 $k_1 = k_2 = 0$ とおき、 $\cos \alpha \neq 1 - \frac{1}{2} \sin^2 \alpha$ と近似すれば、本文の結果と一致する。			
	事口寿男 久保元生 中井博	12) (12)式において $k_1 = k_2 = 0$ とおき、変位成分に関する3次以上の高次微小項を省略すると本文の結果と一致する。ただし、文献(12)とは挿率の項の係数に相違がある。			
	Schroeder	13) (12)式において、平面的な変位は一致するが、そり変位の項に差がある。すなわち、文献(2)では挿率として微小変位理論に基づく直線部材の挿率 (θ_1) を用いている。			
	曲率=const.	挿率=const.	高島秀雄	14) そり変位に対する初期曲率・初期挿率の影響を考慮しているが、本文の挿率に対応するかとし(1)式を用いて表1に示す。ただし、文献(14)では、そり関数として直線部材の St. Venant のソリ関数を代用している点に差がある。	

3. あとがき

ここで誘導した有限変位場は必ずしも厳密ではないが、従来の研究成果を含むものであり、より一般的な有限変位場であると考えられる。

参考文献

- 1) 西野・倉方・長谷川・奥村：土木学会論文報告集, No. 225, 1974. 5. 8) 前田幸雄・林正：土木学会論文報告集, No. 253, 1976. 9.
- 2) F. H. Schroeder : Ingenieur-Archiv, 39. Band 1970. 9) 西野・倉方・後藤：土木学会論文報告集, No. 237, 1975. 5.
- 3) M. Hirashima & M. Iura : 早稲田大学理工学研究所報告, No. 79, 1977. 12. 10) 薄木征三：土木学会論文報告集, No. 263, 1977. 7.
- 4) C. F. Kollbrunner & N. Hajdin : Dünnewandige Stäbe, Springer-Verlag, 1972. 11) 倉方慶夫：東京大学工学系研究科博士論文, 1976. 3.
- 5) 西野文雄・深沢泰晴：土木学会論文報告集, No. 247, 1976. 3. 12) 事口・久保・中井：第24回構造工学シンポジウム, 1978. 2. 10.
- 6) 築地恒夫：土木学会論文報告集, No. 230, 1974. 10. 13) 高島秀雄：第27回応用力学連合講演会講演論文抄録集, 1977. 11.
- 7) K. Washizu : Jour. of Math. and Phys. Vol. 43, No. 2, 1964.